

SEMESTR II WYKŁAD 6 UKŁADY WSPÓŁRZĘDNYCH W \mathbb{R}^n , TFW

W trakcie tego wykładu pracujemy w przestrzeniach wymiaru skończonego.

Rozwiązując problemy fizyczne np z zakresu mechaniki klasycznej czy elektrostatyki czy elektrodynamiki wprowadzamy w przestrzeni fizycznej układ współrzędnych. Zastanawiamy się co to znaczy z punktu widzenia struktur matematycznych. Zazwyczaj wprowadzamy układ współrzędnych o którym mówimy **kartezjański**. Ustalamy początek układu w jakimś punkcie i ustawiamy osie x, y, z tak żeby było wygodnie dbając o to, żeby kierunki osi były pod kątem prostym, wektory miały długość 1 i układ był odpowiednio zorientowany zgodnie z regułą prawej ręki. Oznacza to, że (1) przestrzeń fizyczna nie jest przestrzenią wektorową, ponieważ w przeciwnym razie zero byłoby w ustalonym od początku punkcie. (2) kierunki x, y, z nie są od początku wyróżnione (3) wiadomo co to znaczy że wektory są prostokątne i mają długość 1. (4) jest wyróżniona orientacja.

Odpowiednią strukturę matematyczną okazuje się **przestrzeń afiniczna**.

DEFINICJA Przestrzenią **afiniczną** nazywamy zbiór A wraz z przestrzenią wektorową V i odwzorowaniem $\alpha: A \times V \rightarrow A$ spełniającym warunki:

- (1) $\forall a \in A, v, w \in V \quad \alpha(\alpha(a, v), w) = \alpha(a, v+w)$
- (2) $\alpha(a, \vec{0}) = a$
- (3) $\forall a, b \in A \exists! v \in V: \alpha(a, v) = b$

Zazwyczaj zamiast $\alpha(a, v)$ piszemy $a+v$. Wówczas warunki przyjmują postać $(a+v)+w = a+(v+w), a+\vec{0} = a, \forall a, b \exists! v: a+v = b$. Dodatkowo piszemy $v = b-a$ dla v spełniającego \rightarrow Przestrzeń V nazywamy **modelową przestrzenią wektorową dla A** . Wiemy już, że V jest topologiczne, odwzorowanie α może posłużyć do przeniesienia topologii na A . Dokładniej A jest wyposażone w taką topologię, żeby każde odwzorowanie $\alpha_a: A \rightarrow V: b \mapsto b-a$ było homeomorfizmem. **Wymiarem** przestrzeni A nazywamy wymiar modelowej przestrzeni V .

Dla celów fizycznych „gota” struktura afiniczna nie wystarcza. Potrzebujemy iloczynu skalarnego w V żeby mierzyć odległości i wiedzieć czym są kąty oraz orientacji w V żeby wiedzieć jak wybrać prawokątne współrzędne. Ostatnio przestrzeń fizyczna to **trójwymiarowa przestrzeń afiniczna której modelowa przestrzeń wektorowa jest zorientowaną przestrzenią euklidesową**. W fizyce klasycznej pojawiają się też inne przestrzenie afiniczne. Np. **czasoprzestrzeń Minkowskiego** jest to czterowymiarowa przestrzeń afiniczna której przestrzeń modelowa wyposażona jest w formę dwuliniową, niezdegenerowaną o sygnaturze Lorentzowskiej. **Czasoprzestrzeń Newtona** jest to czterowymiarowa przestrzeń afiniczna, której przestrzeń modelowa wyposażona jest w niezzerowp jednoformę czasu τ oraz iloczyn skalarny na przestrzeni $V \cap E_0 = \ker \tau$.

DEFINICJA: **Układem współrzędnych** w zbiorze otwartym $U \subset A$ nazywamy odwzorowanie $\Phi: U \rightarrow \mathbb{R}^n$ klasy C^1 iniektywne.

W przestrzeni afinicanej jest wyróżniona klasa układów współrzędnych prostoliniowych. Ustalając bazę $e = (e_1, e_2, \dots, e_n)$ w V ; wybierając punkt $a_0 \in A$ definiujemy **37**

$$F: \mathbb{R}^n \rightarrow A: (x^1, x^2, \dots, x^n) \mapsto a_0 + x^1 e_1 + x^2 e_2 + \dots + x^n e_n$$

Spełnia założenie
tu o lokalnej

odwracalności, ponieważ jest globalnie iniektywne, zatem jest dyfeomorfizmem.

Odwzorowanie $\Phi = F^{-1}$ jest globalnym, prostoliniowym układem współrzędnych na A . W fizyce używamy także często innych układów współrzędnych. Np w \mathbb{R}^2 używamy układu współrzędnych biegunowych. Łatwiej jest podać odwzorowanie odwrotne do Φ

$$\Phi':]0, \infty[\times]0, 2\pi[\ni (r, \varphi) \mapsto (r \cos \varphi, r \sin \varphi) \in \mathbb{R}^2$$

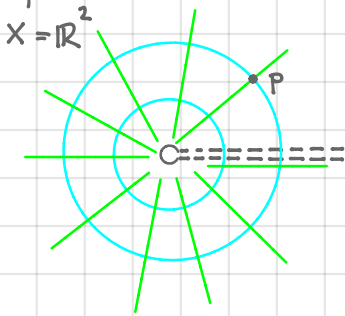
Φ określone jest na $\mathbb{R}^2 \setminus \mathcal{U} = \mathbb{R}^2 \setminus \{(x, 0) : x \geq 0\}$

Samo Φ ma znacznie mniej przyjemną definicję:

$$r(x, y) = \sqrt{x^2 + y^2} \quad \varphi(x, y) = \begin{cases} \arctg \frac{y}{x} & x, y > 0 \\ \frac{\pi}{2} & x = 0, y > 0 \\ \pi + \arctg \frac{y}{x} & x < 0 \\ \frac{3\pi}{2} & x = 0, y < 0 \\ 2\pi + \arctg \frac{y}{x} & x > 0, y < 0 \end{cases}$$

Biegunowy układ współrzędnych dobrze nadaje się do uzasadnienia potrzeby

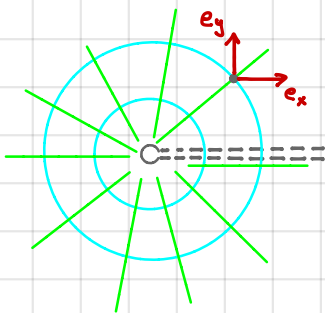
wprowadzenia nowych pojęć



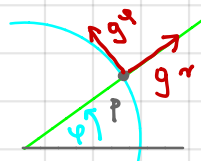
Zauważmy, że w otoczeniu punktu $p \in \mathcal{O}$ określona jest funkcja f , różniczkowalna. Istnieje zatem $f'(p) \in \mathcal{B}(\mathbb{R}^2, \mathbb{R}) \cong L(\mathbb{R}^2, \mathbb{R})$ $f'(p)$, jako odwzorowanie skończony wymiar liniowe można wyrazić macierzą w bazie.

Zazwyczaj korzystamy z bazy kanonicznej w \mathbb{R}^2 . Dlaczego to \mathbb{R}^2 jest na czerwono? Dlatego, że jest to przestrzeń przyrostów a nie wyżsiowe \mathbb{R}^2 . W bazy kanonicznej mamy oczywiście

$$f'(p) = \begin{bmatrix} \frac{\partial f}{\partial x}(p) & \frac{\partial f}{\partial y}(p) \end{bmatrix}$$



W przestrzeni \mathbb{R}^2 możemy też użyć innej bazy. Na przykład takiej: obróconej o kąt φ



$$\begin{aligned} g_r &= \cos \varphi e_x + \sin \varphi e_y \\ g_\varphi &= -\sin \varphi e_x + \cos \varphi e_y \end{aligned}$$

$$[f'(p)]_g^1 = [f'(p)]_e^1 [id]_g^e$$

$$[g_r]^e \quad [g_\varphi]^e = \begin{bmatrix} \cos \varphi & -\sin \varphi \\ \sin \varphi & \cos \varphi \end{bmatrix}$$

$$[f'(p)]_g^1 = \begin{bmatrix} f_x & f_y \end{bmatrix} \begin{bmatrix} \cos \varphi & -\sin \varphi \\ \sin \varphi & \cos \varphi \end{bmatrix} = \begin{bmatrix} \cos \varphi f_x + \sin \varphi f_y & -\sin \varphi f_x + \cos \varphi f_y \end{bmatrix}$$

Widać, że baza f jest jakos zwiazana z układem współrzędnych Φ . Intuicyjnie rzecz biorąc f_φ jest „styczny” do linii stałego r a f_r „styczny” do linii stałego φ .

DEFINICJA:

(A, V) -przestrzeń afiniczna. Wektorem stycznym do krzywej $\gamma: I \rightarrow A$ w $t=0$ nazywamy wektor

$$\tilde{v} = \lim_{t \rightarrow 0} \frac{1}{t} (\gamma(t) - \gamma(0))$$

Używa się też oznaczeń $\dot{\gamma}(0), \gamma'(0), t\dot{\gamma}(0) \dots$

Zbiór wszystkich wektorów stycznych w punkcie a do A oznaczamy $T_a A$. Łatwo sprawdzić, że istnieje jednoznaczna odpowiedniość między $T_a A$ i V :

$$v \in V \quad \gamma_v(t) = a + tv \quad v = \dot{\gamma}(0)$$

Wrócamy do bazy g (w $T_p \mathbb{R}^2 \simeq \mathbb{R}^2$) Mamy dwie krzywe

$$\gamma_\varphi: t \mapsto (x_\varphi(t) = r \cos(\varphi+t), y_\varphi(t) = r \sin(\varphi+t))$$

$$\gamma_r: t \mapsto (x_r(t) = (r+t) \cos \varphi, y_r(t) = (r+t) \sin \varphi)$$

$$\dot{\gamma}_\varphi(0) = \begin{bmatrix} -r \sin \varphi \\ r \cos \varphi \end{bmatrix} \quad \dot{\gamma}_\varphi(0) \perp = -r \sin \varphi e_x + r \cos \varphi e_y = r g_\varphi = \partial_\varphi$$

$$\dot{\gamma}_r(0) = \begin{bmatrix} \cos \varphi \\ \sin \varphi \end{bmatrix} \quad \dot{\gamma}_r(0) \perp = \cos \varphi e_x + \sin \varphi e_y = g_r = \partial_r$$

Baza wektorów stycznych do krzywych współrzędnościowych to niemal ta baza którą zaproponowaliśmy wcześniej, z dokładnością do długości jednego z wektorów. Skąd oznaczenia $\partial_\varphi, \partial_r$? Policzmy

$$\tilde{f}(r, \varphi) = f(x(r, \varphi), y(r, \varphi)) \quad \tilde{f}:]0, \infty[\times]0, 2\pi[\ni (r, \varphi) \rightarrow \mathbb{R}$$

$$\frac{\partial \tilde{f}}{\partial \varphi} = \frac{\partial f}{\partial x} (-r \sin \varphi) + \frac{\partial f}{\partial y} (r \cos \varphi)$$

$$\frac{\partial \tilde{f}}{\partial r} = \frac{\partial f}{\partial x} \cos \varphi + \frac{\partial f}{\partial y} \sin \varphi$$

$$\begin{bmatrix} \frac{\partial \tilde{f}}{\partial r} & \frac{1}{r} \frac{\partial \tilde{f}}{\partial \varphi} \end{bmatrix}$$

$$[f'(p)]_g^1 = \begin{bmatrix} f_x & f_y \end{bmatrix} \begin{bmatrix} \cos \varphi & -\sin \varphi \\ \sin \varphi & \cos \varphi \end{bmatrix} = \begin{bmatrix} \cos \varphi f_x + \sin \varphi f_y & -\sin \varphi f_x + \cos \varphi f_y \end{bmatrix}$$

$$[f'(p)]_{(\partial_r, \partial_\varphi)}^1 = \begin{bmatrix} \frac{\partial \tilde{f}}{\partial r} & \frac{\partial \tilde{f}}{\partial \varphi} \end{bmatrix}$$

GRADIENT: Niech $f: A \rightarrow \mathbb{R}$ będzie funkcją różniczkowalną. Załóżmy także, że A jest modelowane na przestrzeni euklidesowej, tzn. przestrzeni Hektorowej z iloczynem skalarnym. Iloczyn skalarny jest to dwuliniowa, symetryczna nieodegenerowana i dodatnio określona forma na V . Zanim zdefiniujemy gradient przyjrzymy się strukturze przestrzeni euklidesowej.

Każdej dwuliniowej formie symetrycznej $q: V \times V \rightarrow \mathbb{R}$ towarzyszą dwa odwzorowania: forma kwadratowa $V \ni v \mapsto q(v, v)$ i odwzorowanie samosprężone $Q: V \rightarrow V^*$ $Q(v) = q(v, \cdot)$. Każde z tych odwzorowań: forma dwuliniowa symetryczna, forma kwadratowa, odwzorowanie samosprężone, wyznacza dwa pozostałe. Nam przyjdzie się odwzorowanie samosprężone $G: V \rightarrow V^*$ związane z iloczynem skalarnym $g: V \times V \rightarrow \mathbb{R}$. Ponieważ g jest nieodegenerowana to G jest izomorfizmem. Możemy więc użyć $G^{-1}: V^* \rightarrow V$.

Pochodna f w punkcie $a \in A$ jest elementem $L(V, \mathbb{R}) = V^*$ tzn. $f'(a) \in V^*$.

$$(\text{grad } f)(a) = (\overline{\nabla} f)(a) = G^{-1}(f'(a))$$

Jak teraz policzyć we współrzędnych? Znowy odpowiemy na to pytanie, najpierw jednak zapiszmy we współrzędnych G i g . Załóżmy, że $e = (e_1, \dots, e_n)$ jest bazą w V . Wtedy wektory $v, w \in V$ zapisać możemy: $v = \sum_i v^i e_i$ $w = \sum_j w^j e_j$

$$g(v, w) = g\left(\sum_i v^i e_i, \sum_j w^j e_j\right) = \sum_i \sum_j v^i w^j \underbrace{g(e_i, e_j)}_{g_{ij}} = \sum_{ij} v^i w^j g_{ij}$$

Liczby g_{ij} ułożymy w symetryczną macierz:

$$[g]_e = \begin{bmatrix} & \xrightarrow{i} \\ \downarrow j & g_{ij} \end{bmatrix} \quad \text{wtedy } g(v, w) = ([w]^e)^T [g]_e [v]^e$$

Niech teraz $\varepsilon = (\varepsilon^1, \dots, \varepsilon^n)$ będzie bazą w V^* dualną do e , tzn. $\langle \varepsilon^i, e_j \rangle = \delta_j^i$. Odwzorowanie G można zapisać w postaci macierzy $[G]_e^\varepsilon$ jak każde odwzorowanie liniowe. Co to będzie za macierz? Element G^i_j macierzy $[G]_e^\varepsilon$ leży w i -tym wierszu j -tej kolumny. Zgodnie z zasadą kolumny macierzy to obrazy wektorów bazy z z okolicziny zapisane w bazie przestrzeni docelowej. j -ta kolumna to zatem $[G(e_j)]^\varepsilon$. Związek między parą baz dualnych umożliwia także rozkładanie wektora w bazie. I tak mamy

$$G(e_j)^i = \langle G(e_j), e_i \rangle = g(e_j, e_i)$$

$$\downarrow \begin{bmatrix} & \xrightarrow{i} \\ & G(e_j)^i \end{bmatrix}$$

Macierze G i g są względem siebie transponowane (efekt wyboru) ale z powodu symetrii hydrocki, że są jednakowe.

Zwróćmy jeszcze uwagę na jedną rzecz: jeśli $\alpha \in V^*$ to α można zapisać jako macierz na dwa sposoby: jako element p.w. w bazie ε , $[\alpha]^\varepsilon$ - wektor kolumnowy, albo jako odwzorowanie $V \rightarrow \mathbb{R}$ w bazach e w V i $\{1\}$ w \mathbb{R} , $[\alpha]_e^1$ - wektor wierszowy

Mamy $[\alpha]_e^1{}^T = [\alpha]^\varepsilon$

$\left[\begin{array}{c} \vdots \\ \vdots \\ \vdots \\ \vdots \\ \vdots \end{array} \right]$
 \uparrow_i i-ta kolumna to $\langle \alpha, e_i \rangle$

$\left[\begin{array}{c} \vdots \\ \vdots \\ \vdots \\ \vdots \\ \vdots \end{array} \right]$
 $\leftarrow 1$ w i-tym wierszu jest współczynnik przy e^i czyli $\langle \alpha, e_i \rangle$

40

Teraz możemy zapisać gradient w współrzędnych. Załóżmy, że $e = (e_1, \dots, e_n)$ jest ortonormalną bazą w V , (x^1, \dots, x^n) to współrzędne prostoliniowe odpowiadające tej bazie i dowolnemu wyborowi a_0 .

$$[f'(a)]_e^1 = \left[\frac{\partial f}{\partial x^1}, \frac{\partial f}{\partial x^2}, \dots, \frac{\partial f}{\partial x^n} \right] \quad [G]_e^1 = \begin{bmatrix} 1 & & 0 \\ & \ddots & \\ 0 & & 1 \end{bmatrix}$$

$$\text{grad } f = \begin{bmatrix} 1 & & \\ & \ddots & \\ & & 1 \end{bmatrix}^{-1} \begin{bmatrix} \frac{\partial f}{\partial x^1} \\ \vdots \\ \frac{\partial f}{\partial x^n} \end{bmatrix} = \begin{bmatrix} \frac{\partial f}{\partial x^1} \\ \vdots \\ \frac{\partial f}{\partial x^n} \end{bmatrix} = \frac{\partial f}{\partial x^1} e_1 + \dots + \frac{\partial f}{\partial x^n} e_n$$

\curvearrowright Tak będzie np. w współrzędnych kartezjańskich w \mathbb{R}^3

Teraz przyjmijmy, że jesteśmy w \mathbb{R}^2 z biegunowym układem współrzędnych. Wiadomo, że w punkcie (r, φ) pochodne f zapisane w bazie $(\partial_r, \partial_\varphi)$ to

$$[f'(r, \varphi)]_{(\partial_r, \partial_\varphi)} = \left[\frac{\partial f}{\partial r}, \frac{\partial f}{\partial \varphi} \right] \quad \text{Macierz } G \text{ znajdziemy wyznaczając } g(\partial_r, \partial_r)$$

$g(\partial_\varphi, \partial_\varphi)$ i $g(\partial_r, \partial_r)$

$$\partial_r = \frac{\partial x}{\partial r} \partial_x + \frac{\partial y}{\partial r} \partial_y = \cos \varphi \partial_x + \sin \varphi \partial_y$$

$$\partial_\varphi = \frac{\partial x}{\partial \varphi} \partial_x + \frac{\partial y}{\partial \varphi} \partial_y = -r \sin \varphi \partial_x + r \cos \varphi \partial_y$$

wiemy że (∂_x, ∂_y) stanowi bazę ortonormalną więc
 $g(\partial_r, \partial_r) = 1 \quad g(\partial_\varphi, \partial_\varphi) = r^2$
 $g(\partial_r, \partial_\varphi) = 0$

$$[G]_{(\partial_r, \partial_\varphi)}^{(\partial_r, \partial_\varphi)} = \begin{bmatrix} 1 & 0 \\ 0 & r^2 \end{bmatrix} \quad G^{-1} = \begin{bmatrix} 1 & 0 \\ 0 & \frac{1}{r^2} \end{bmatrix}$$

$$[\text{grad } f]_{\partial_r, \partial_\varphi} = \begin{bmatrix} 1 & 0 \\ 0 & \frac{1}{r^2} \end{bmatrix} \begin{bmatrix} \frac{\partial f}{\partial r} \\ \frac{\partial f}{\partial \varphi} \end{bmatrix} = \begin{bmatrix} \frac{\partial f}{\partial r} \\ \frac{1}{r^2} \frac{\partial f}{\partial \varphi} \end{bmatrix} = \frac{\partial f}{\partial r} \partial_r + \frac{1}{r^2} \frac{\partial f}{\partial \varphi} \partial_\varphi = \frac{\partial f}{\partial r} e_r + \frac{1}{r} \frac{\partial f}{\partial \varphi} e_\varphi$$

$e_r = \partial_r \quad e_\varphi = \frac{1}{r} \partial_\varphi$

Niestety na razie nie damy rady przyzwolnie objaśnić dywergenji, rotacji i laplasjanu. Brakuje jednego fundamentalnego pojęcia o którym mowa będzie dopiero w trzecim semestrze.

TWIERDZENIE X, Y, Z - przestrzenie Banacha $X \oplus Y \supset U$ otwarty $f: U \rightarrow Z$
 odwzorowanie klasy C^1 $(x_0, y_0) \in U$, $f(x_0, y_0) = 0$

Jeśli $f'_y(x_0, y_0)$ jest izomorfizmem $Y \rightarrow Z$ wtedy istnieje otoczenie \mathcal{O} punktu x_0 w X i V punktu y_0 w Y takie, że $\mathcal{O} \times V \subset U$ oraz odwzorowanie $g: \mathcal{O} \rightarrow V$ takie, że $f(x, g(x)) = 0$, g jest klasy C^1
 oraz

$$g'(x) = - \left[f'_y(x, g(x)) \right]^{-1} f'_x(x, g(x))$$

DOWÓD: W dowodzie korzystamy z twierdzenia o istnieniu odwzorowania odwrotnego. W tym celu konstruujemy

$$\Phi: X \oplus Y \supset U \longrightarrow X \oplus Z$$

$$(x, y) \longmapsto (x, f(x, y))$$

Φ jest klasy C^1 jako złożenie odwzorowań klasy C^1 . Liczymy pochodną

$$\Phi'(x, y) \in \mathcal{B}(X \oplus Y, X \oplus Z)$$

$$\Phi'(x, y) = \begin{bmatrix} 1_x & 0 \\ f'_x & f'_y \end{bmatrix}$$

z założenia, że f'_y jest izomorfizmem wynika że $\Phi'(x_0, y_0)$ jest izomorfizmem

$$\begin{array}{c|c} \begin{matrix} x \rightarrow X & y \rightarrow Y \\ \hline x \rightarrow Z & y \rightarrow Z \end{matrix} & \begin{bmatrix} h \\ k \end{bmatrix} \end{array}$$

Φ spełnia więc założenie tw. o lokalnej odwracalności. Na podstawie tego twierdzenia istnieje otoczenie $\Omega \subset X \oplus Y$ punktu (x_0, y_0) (zmniejszając ewentualnie Ω można uznać, że jest postaci $\mathcal{O} \times V$) i otoczenie Λ punktu $(x_0, 0) \in X \oplus Z$ takie że $\Phi: \Omega \rightarrow \Lambda$ jest bijekcją, istnieje Φ^{-1} klasy C^1 oraz

$$(\Phi^{-1})'(\Phi(\xi, \eta)) = \Phi'(\xi, \eta)^{-1}$$

$\Phi(x, y) = (x, f(x, y))$ bijekcja tzn $\forall (x, y) \exists! (\xi, \zeta) : (\xi, \zeta) = (x, f(x, y))$
 Odwzorowanie Φ^{-1} musi być postaci

42

$$(\xi, \zeta) \mapsto (\xi, \Psi(\xi, \zeta))$$

\uparrow
y

Możemy więc położyć $g(x) = \Psi(x, 0)$ Φ jest klasy C^1 , więc Ψ oraz g są także C^1 , ponadto mamy równość

$0 = f(x, g(x))$ tzn $x \mapsto f(x, g(x))$ jest stała i ma pochodną równą zero. To pochodna to odwzorowanie

$$h \mapsto f'_x(x, g(x))h + f'_y(x, g(x))g'(x)h \quad (= 0)$$

$$\forall h \quad f'_y(x, g(x))g'(x)h = -f'_x(x, g(x))h$$

$$g'(x)h = -[f'_y(x, g(x))]^{-1} f'_x(x, g(x))h$$

$$\text{tzn } g'(x) = -[f'_y(x, g(x))]^{-1} f'_x(x, g(x))$$

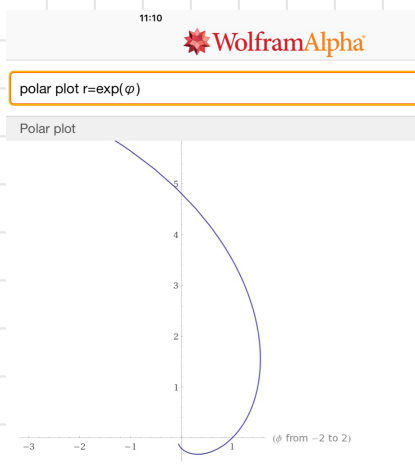


-Fu daje nam narzędzie dzięki którym możemy policzyć różne rzeczy na temat funkcji zadanej w sposób uwikłany nie znajdując samej funkcji

Weźmy np $f(x, y) = \log \sqrt{x^2 + y^2} - \arctg(\frac{y}{x})$ dla $x > 0$

$$f(x, y) = 0 \text{ oznacza } \log \sqrt{x^2 + y^2} = \arctg(\frac{y}{x})$$

$$(r = \exp \varphi \text{ biegunowo } \varphi \in]-\frac{\pi}{2}, \frac{\pi}{2}[)$$



Sprawdzić że w otoczeniu $x_0 = 1$ równanie określa y jako funkcję x . Znaleźć y' i y'' w zależności od x, y

$$\frac{1}{2} \log(x^2 + y^2)$$

$$f(x, y) = \log \sqrt{x^2 + y^2} - \arctg(\frac{y}{x})$$

$$\begin{aligned} f'_y(x, y) &= \frac{1}{2} \cdot \frac{1}{x^2 + y^2} \cdot 2y - \frac{1}{1 + (\frac{y}{x})^2} \left(\frac{1}{x}\right) = \\ &= \frac{y}{x^2 + y^2} - \frac{x}{x^2 + y^2} = \frac{x - y}{x^2 + y^2} = 0 \end{aligned}$$

$$y=x \quad \frac{1}{2} \log(2x^2) = \frac{\pi}{4} \quad \log(2x^2) = \frac{\pi}{2} \quad 2x^2 = \exp(\frac{\pi}{2}) \quad x^2 = \frac{1}{2} \exp(\frac{\pi}{2})$$

$$x = \pm \frac{1}{\sqrt{2}} \exp(\frac{\pi}{4})$$

poza $x = \frac{1}{\sqrt{2}} \exp(\frac{\pi}{4}) = y$ \neq zadaje y jako funkcję od x ale nie wiemy ile tych funkcji jest. (z obrazka widać że dwie) Mimo to możemy policzyć pochodną:

$$\frac{1}{2} \log(x^2+y^2) = \arctg(\frac{y}{x})$$

$$\frac{1}{2} \frac{1}{x^2+y^2} (2x + 2y y_x) = \frac{1}{1+\frac{y^2}{x^2}} \left(-\frac{y}{x^2} + \frac{y_x}{x} \right)$$

← wyznaczamy y_x

$$\frac{x}{x^2+y^2} + \frac{y}{x^2+y^2} y_x = \frac{-y}{x^2+y^2} + \frac{x y_x}{x^2+y^2} \quad \frac{y-x}{x^2+y^2} y_x = -\frac{y+x}{y^2+x^2}$$

$$y_x = -\frac{y+x}{y-x}$$

na podstawie tego równania możemy sprawdzić czy te funkcje mają punkt krytyczny $y_x=0$ tzn $y=-x$, $\log\sqrt{x^2+(-x)^2} = \arctg(\frac{-x}{x}) \Rightarrow \log\sqrt{2x^2} = -\frac{\pi}{4}$
 $\sqrt{2x^2} = \exp(-\frac{\pi}{4}) \quad x = \frac{1}{\sqrt{2}} \exp(-\frac{\pi}{4})$. Wydaje się więc że „dolna” funkcja ma punkt krytyczny. Można też zbadać jego typ. Załóżmy ogólnie, że w otoczeniu (x_0, y_0) równanie $f(x, y) = 0$ określa y jako funkcję x . Znajdźmy y'' (y_{xx})

$$f(x, y) = 0 \quad f_x + f_y y_x = 0 \quad y_x = -\frac{f_x}{f_y}$$

Niech x_1 : $f_x(x_0, y_0) = 0$ tzn x_0 jest punktem krytycznym y .

$$f_{xx} + f_{xy} y_x + f_{yx} y_x + f_{yy} y_x^2 + f_y y_{xx} = 0$$

$$y_{xx} = -\frac{1}{f_y} (f_{xx} + 2f_{xy} y_x + f_{yy} y_x^2)$$

← y_{xx} w otoczeniu x_0

= 0 w punkcie krytycznym

$$y_{xx}(x_0) = -\frac{1}{f_y(x_0, y_0)} f_{xx}(x_0, y_0)$$

← y_{xx} w x_0 .

W naszym przypadku

$$f(x,y) = \log \sqrt{x^2+y^2} - \operatorname{arctg}\left(\frac{y}{x}\right)$$

$$f_x = \frac{1}{\cancel{2}} \frac{1}{x^2+y^2} \cdot \cancel{2x} - \frac{1}{1+(\frac{y}{x})^2} \left(-\frac{y}{x^2}\right) =$$

$$\frac{x}{x^2+y^2} - \frac{y}{x^2+y^2} = \frac{x+y}{x^2+y^2}$$

$$f_{xx} = \frac{(x^2+y^2) - 2x(x+y)}{(x^2+y^2)^2} = \frac{x^2+y^2 - 2x^2 - 2xy}{(x^2+y^2)^2} = \frac{y^2 - x^2 - 2xy}{(x^2+y^2)^2}$$

$$g_{xx} = -\frac{1}{f_y} f_{xx} = -\frac{\cancel{x^2+y^2}}{x-y} \cdot \frac{y^2 - x^2 - 2xy}{(x^2+y^2)^{\cancel{2}}} = -\frac{x^2 - x^2 - 2x^2}{2x(x^2+x^2)} = +\frac{2x^2}{4x^3} = +\frac{1}{2x} =$$

$$= \Big|_{x=\frac{1}{\sqrt{2}}} \frac{1}{\sqrt{2}} \exp\left(-\frac{\sqrt{2}}{4}\right) + \frac{1 \cdot \sqrt{2}}{2 \cdot \exp\left(-\frac{\sqrt{2}}{4}\right)} = +\frac{1}{\sqrt{2}} \exp\left(\frac{\sqrt{2}}{4}\right) > 0 \text{ funkcja ma minimum.}$$